

AC-1.- Plioceno superior, al W del macizo de Santa Pola



AC-117.- Valle del Vinalopó. Triásico, con alguna terraza cuaternaria. En la parte izquierda, a media ladera, aparece el Cretácico superior; en la cumbre, calizas del Tortoniense inferior. Al fondo, a la derecha, Muschelkalk



AC-119.- Depósitos de terraza cuaternaria, en el Valle del Vinalopó



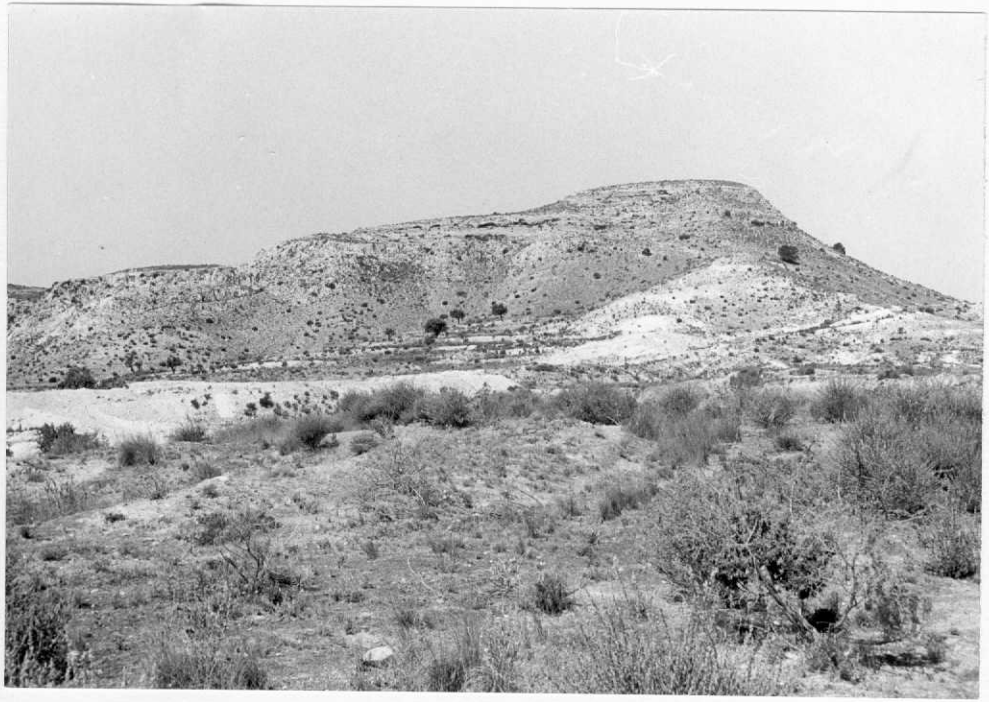
AC-123.- Calizas del Tortoniense inferior, en la cerrada del Pantano del Vinalopó



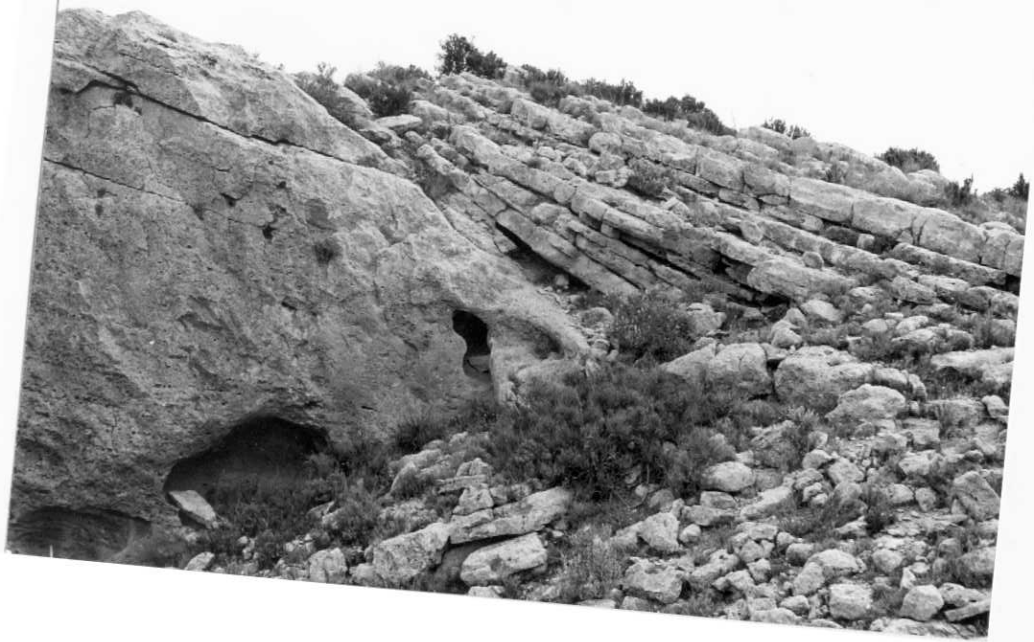
AC-126.- Contacto discordante entre Tortoniense inferior y superior, y pequeño afloramiento de Triásico, entre ambas formaciones



AC-131.- Hacia el SE. Contacto entre Tortoniense inferior y superior. Algún retazo de Eoceno y de Cretácico superior, junto al Triásico.



AC-139.- Cerro Tabayal, visto desde el E. ~~Discordancia~~ Pequeño afloramiento, en la cumbre, de Tortoniense superior, discordante sobre Tortoniense inferior.



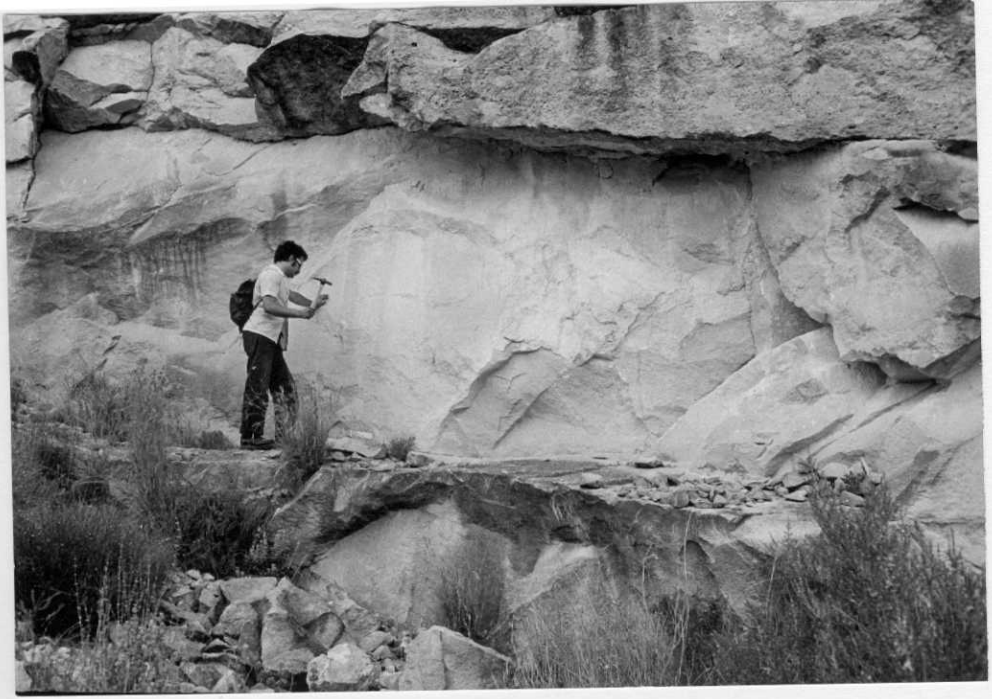
AC-147.- Aspecto de las calizas del Tortoniense inferior



AC-147.- A la izquierda, calizas del Tortoniense inferior, sobre el Triásico que aparece hasta el fondo del valle. A la derecha, Cretácico superior, y las formaciones Jurásicas, del Subbético trastornadas por tupida red de fallas.



AC-154.- Detalle de las calizas detríticas del Tortoniense inferior. Se pueden observar cantos de diversos tamaños procedentes de la erosión del Triásico. e Infralias.



AC-156.- Igual a la anterior



AC-160.- Erosión en las areniscas del Helveciense



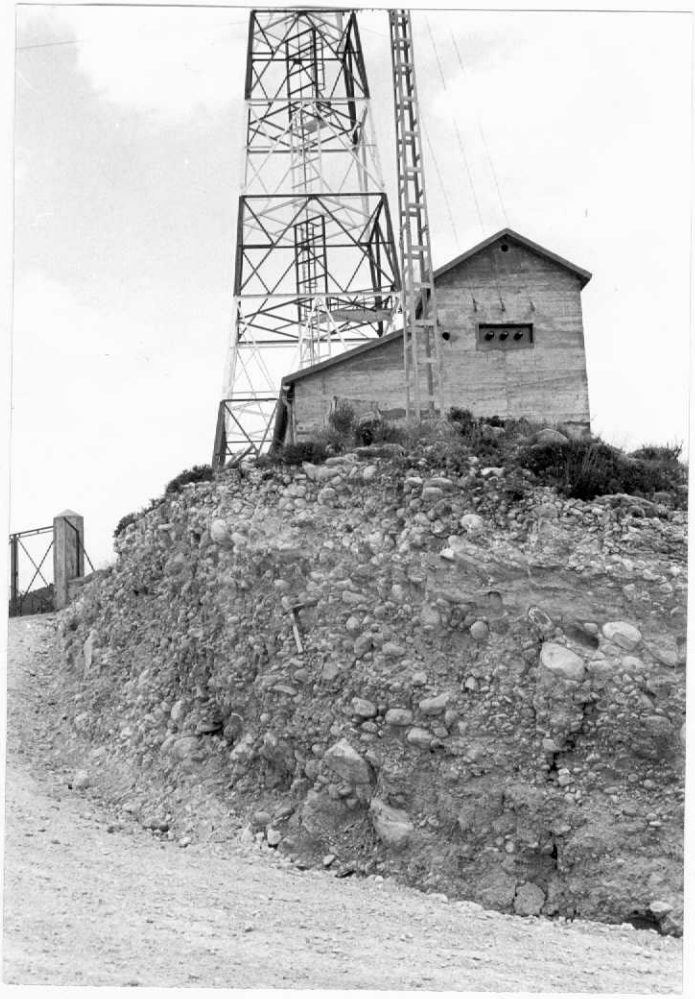
AC-160.- Aspecto masivo de las areniscas del Helveciense



AC-166.- Hacia el S. Areniscas helvecienses, sobre margas del Burdigaliense superior



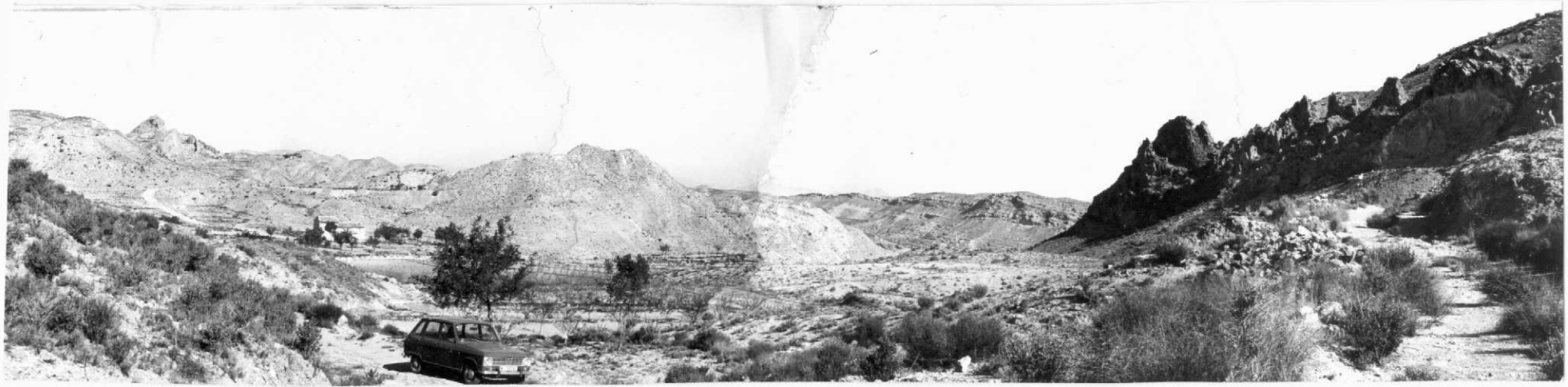
AC-173.- Tortoniense superior, discordante sobre el Cretácico



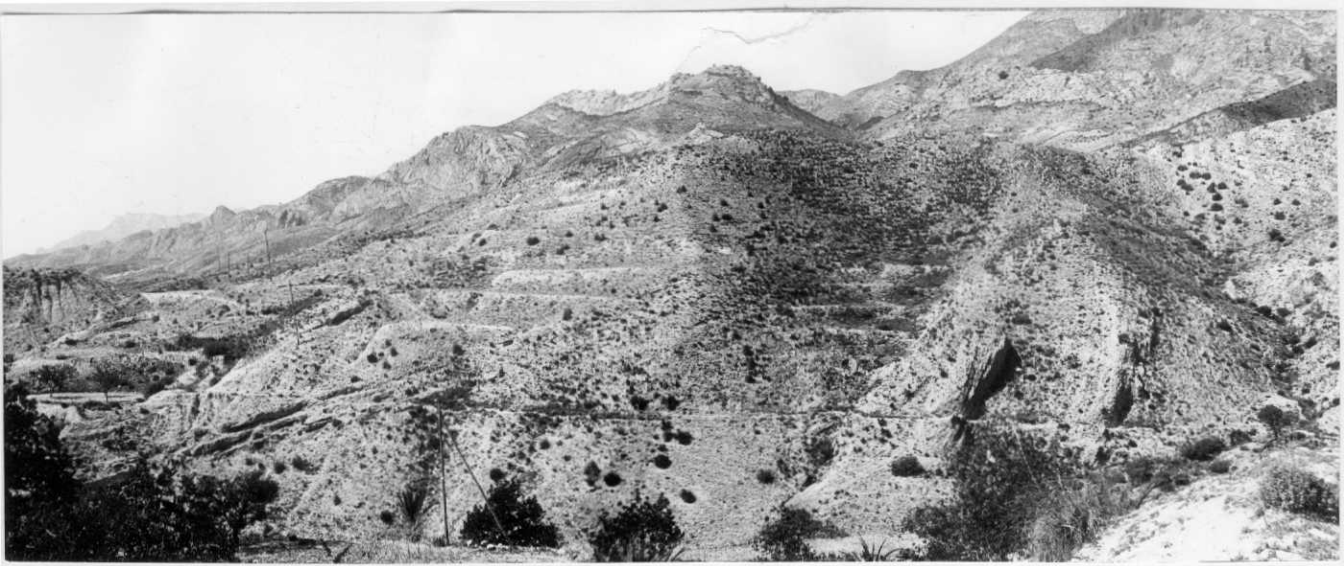
AC-173.- Conglomerado del Tortoniense superior, que corona el cerro Tabayal



AC-2.- Cantera en calizas blancas, porosas, poco compactas, del Andaluciense



AC-94.- Trias del Valle del Vinalopó. A la derecha, calizas negruzcas del Muschelkalk. Al fondo, hacia el N, Tortoniense superior discordante.



RP-15.- (hacia el W).- Discordancia del Andaluciense (aquí muy detrítico su tramo inferior), sobre los conglomerados del Tortoniense superior



RP-16.- (hacia el E) Otra vista de la discordancia entre Andaluciense y Tortoniense superior, que se aprecia en la distancia.



RP-17.- (hacia el N-NE) En primer plano, las formaciones de conglomerados del Tortoniense superior, que doblan hacia el N, perdiendo buzamiento. En Al fondo, las formaciones Andalucienses, discordantes.



RP-18.- Discordancia entre el Tortoniense superior (conglomerados predominantes, con margas) y el Andaluciense (más margoso), al N de Crevillente.



RP - 2.- Banco de areniscas del Plioceno superior, al N de Crevillente



RP-28.- Areniscas masivas, y muy potentes, del Helveciense



RP-33.- Cantera en areniscas helvecienses



RP-42.- Cretácico superior, en finos estratos, con Tortoniense superior discordante encima.



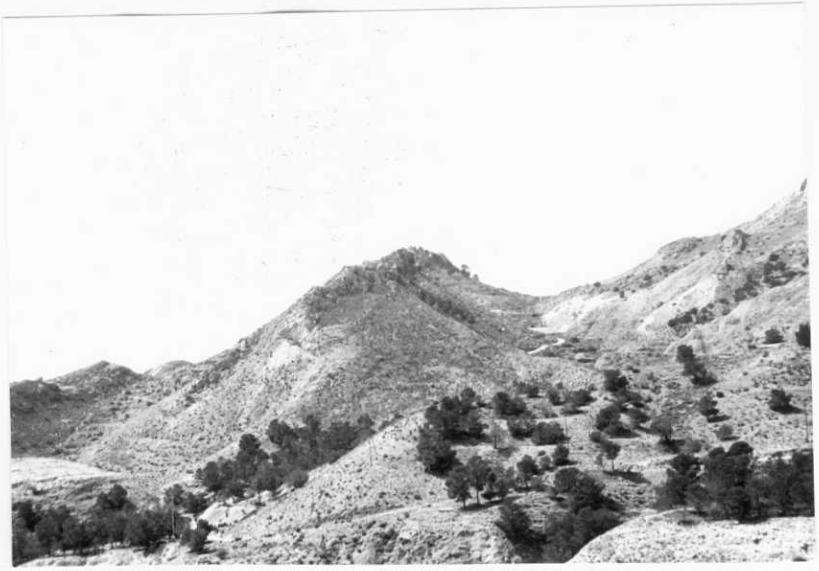
RP-5.- Cerro de calizas del Tortoniense inferior, al NW de Crevillente



RP-5.- Conglomerado del Tortoniense superior, en contacto con calizas bioclásticas de la misma edad, al N de Crevillente.



RP-5.- Detalle del banco de caliza anterior



RP-6.- Dolomías infraliásicas, sobre la formación Triásica, al NW de Crevillente. (tomada desde este punto hacia el SW)



RP-6.- Tomada hacia el W.- Destacan sobre el Triásico, eminentemente margoso, los bloques de dolomía infraliásica. En la cumbre del cerro hay calizas del Pontiense inferior, discordantes.



RP-6.- Tomada hacia el N.- En contacto anormal, sobre el Triásico, la serie calcárea de la Sierra de Crevillente



RP-84.- (hacia el N). Lias de la Sierra de Crevillente, y formaciones liásicas y jurásicas del valle de Hondón-Aspe.